

9. Васильева Н. Л., Седова Г. Л., Филиппов А. В., Черный Л. Т. Электрогидродинамические течения слабоионизованных аэрозолей с учетом зарядки частиц дисперсной фазы // VI Всесоюз. съезд по теор. и прикл. механике: Аннотации докл.— Ташкент, 1986.

Поступила 27/III 1987 г.

УДК 533.6 011

## ИССЛЕДОВАНИЕ УДАРНОЙ ВОЛНЫ В ТРУБЕ ПРИ СФЕРИЧЕСКОМ ВЗРЫВЕ

Э. К. Андерсанов, Б. Д. Христофоров  
(Москва)

В [1] получены эмпирические зависимости параметров ударных волн (УВ) в трубах при взрыве сосредоточенных зарядов ВВ в воздухе, справедливые на больших расстояниях от центра взрыва, где поршневым действием его продуктов можно пренебречь, а сферическая УВ трансформируется в плоскую. Ниже приведены результаты экспериментального исследования ближней зоны взрыва. Численное решение такой трехмерной нелинейной и нестационарной задачи затруднительно из-за необходимости учета сложной картины взаимодействия прямой и отраженных от стенок УВ, возникающих при этом гидродинамических неустойчивостей у оси трубы, а также реальных свойств среды, состоящей из воздуха, перемешанного с продуктами взрыва из-за неустойчивости Рэлея — Тейлора.

В опытах использовались толстостенные металлические трубы радиусом  $r = 1,5$  и  $1,9$  см, в которых взрывались сферические заряды из тэна массой  $M = 0,8$  и  $2,5$  г ( $\rho = 1,6$  г/см<sup>3</sup>), расположенные на оси трубы. Инициирование осуществлялось в центре заряда, где размещался инициатор с малой навеской азота свинца, электрическим взрывом манганиновой проволоки толщиной 0,05 мм, пронизывающей заряд.

Движение фронта УВ фотографировалось камерой СФР-2М, сопряженной с тепловой установкой, через продольное окно в трубах в варианте фоторегистрации. Выход УВ из труб разной длины и картина гидродинамического течения регистрировались в варианте лупы времени. По этим данным построены годографы  $R(t)$  фронта УВ в трубах и определены его параметры. При обработке экспериментальных результатов учитывалась разброс слоя ВВ, который для используемых зарядов составил  $\sim 0,2$  мм [2].

На рис. 1 приведены фотографии УВ в трубе по результатам щелевой регистрации и покадровой съемки (справа на кадрах видно зеркало, с помощью которого регистрировался момент инициирования, время между кадрами 4 мкс), а на рис. 2—4 — измеренные годографы УВ для различных условий взрыва. Для выяснения условий формирования УВ в трубе и определения эмпирических зависимостей для параметров ее фрон-



Рис. 1

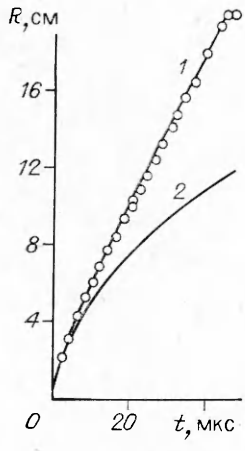


Рис. 2

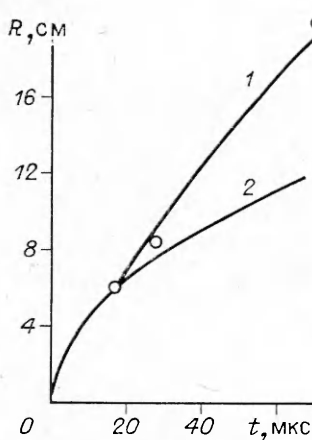


Рис. 3

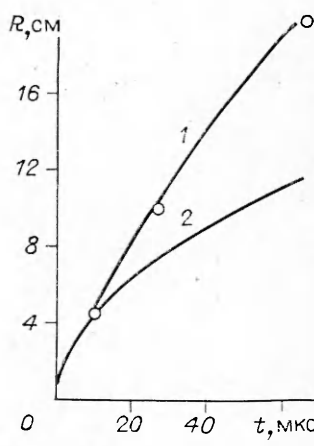


Рис. 4

та измеренные годографы сравниваются с полученными для взрыва тэна в неограниченной атмосфере [2] и рассчитанными по ним годографами УВ в трубе в предположении, что параметры фронта являются функцией отношения энергии (или массы) ВВ к массе воздуха в УВ и не зависят от симметрии взрыва. Для седовского взрыва такое предположение выполняется точно, а для взрыва ВВ — приближенно [3].

Варьируемый параметр при пересчете данных [2] — положение границы перехода  $\tilde{R}_1$  от сферической к плоской симметрии, которая может быть оценена из экспериментальных результатов (рис. 2—4) по точке отхода измеренного годографа (кружки) от годографа для сферического взрыва (кривые 2). Пересчет производился для значений  $R_1$ , больших или равных  $\sqrt{3/2}r$  (кривые 1), последнее значение соответствует равенству масс газа в сфере и цилиндре, ограниченном стенками трубы и фронтом УВ. Параметры УВ при этом не терпят разрыва в точке  $\tilde{R}_1$ , а при  $R_1 > \sqrt{3/2}r$  они скачком возрастают в точке перехода от сферической к плоской симметрии, что может происходить при взаимодействии фронта прямой УВ с отраженными от стенок волнами.

Сравнение экспериментальных данных и кривых 1, 2 показывает, что  $R_1$  возрастает при снижении концентрации энергии взрыва в трубе, которую можно охарактеризовать параметром  $M^{1/3}/r$ . Например, для заряда  $M = 2,5$  г при  $r = 1,5$  см экспериментальные данные согласуются с результатами пересчета [2] с погрешностью около 3 % для  $R_1 = \sqrt{3/2}r$  (рис. 2), а при  $M = 0,8$  г и  $r = 1,9$  см — примерно с той же погрешностью для  $R_1 = 3r$  (рис. 3). Экспериментальные данные можно аппроксимировать зависимостью

$$(1) \quad R_1/r = \begin{cases} 5 - 0,42M^{1/3}/r, & 4 \leqslant M^{1/3}/r \leqslant 9 \text{ (кг}^{1/3}/\text{м}), \\ \sqrt{3/2}, & M^{1/3}/r > 9 \text{ (кг}^{1/3}/\text{м}). \end{cases}$$

Точность такой аппроксимации демонстрирует рис. 4, где показан годограф ( $M = 0,8$  г,  $r = 1,5$  см), для которого граница перехода  $R_1$  находилась по формуле (1).

Процесс формирования сильной плоской УВ в трубе определяется взаимодействием прямой и отраженных волн. С расстоянием угол падения УВ  $\alpha$  на стенки увеличивается и при  $\alpha = \alpha_* = (1/2)\arccos((\gamma - 1)/2)$  происходит переход от регулярного режима отражения к нерегулярному с образованием трехволновой конфигурации [3]. Точка пересечения волны Маха с прямой УВ перемещается к оси трубы, что и приводит к образованию плоской УВ в трубе на расстоянии  $R_* \approx 4,7 r$  (для условий эксперимента). При снижении интенсивности падающей на стенки трубы УВ  $R_*$  увеличивается [3], что согласуется с результатами измерений (рис. 2—

4). Дальнейший процесс формирования УВ связан с образованием плоских волн при столкновении отраженных на оси трубы и их взаимодействием с фронтом прямой волны («догоном»).

Параметры фронта УВ в трубе можно найти по его скорости, определяемой графическим дифференцированием годографов, и ударной адиабате воздуха [3] так, как это сделано в [2]. При этом для получения достаточной точности необходимо усреднение результатов большого количества экспериментов, что обеспечивает хорошее согласие экспериментальных данных [2] с результатами численных расчетов [4]. При ограниченном количестве экспериментальных данных, как показывает проведенный анализ, необходимую для практических приложений точность в определении параметров фронта можно получить пересчетом результатов [2], добиваясь с помощью варьирования параметра  $R_1$  наилучшего совпадения измеренного и расчетного годографов УВ. Найденные таким образом эмпирические формулы для годографа  $R(t)$  УВ, скорости ее фронта  $N$  и давления  $\Delta p$  для сферической и плоской симметрии следующие:

сферическая УВ:

$$0,053 \leq R/M^{1/3} \leq R_1/M^{1/3} (\text{м/кг}^{1/3}), \quad R/M^{1/3} = 0,053(1 + 2,88 \times \\ \times 10^5 t/M^{1/3})^{0,64},$$

$$N = 1880(R/M^{1/3})^{-0,56}, \quad \Delta p = 3,8(R/M^{1/3})^{-1,14};$$

плоская УВ:

$$R_1/M \leq R/M \leq 0,0429/B (\text{м/кг}),$$

$$\frac{t - t_1}{R_1} = \frac{(BR_1/M)^{0,187}}{2232} \left[ \left( \frac{R}{R_1} \right)^{1,187} - 1 \right], \quad \frac{t_1}{M^{1/3}} = \frac{(R_1/R_0)^{1,56} - 1}{2,88 \cdot 10^5},$$

$$N = 1880(BR/M)^{-0,187}, \quad \Delta p = 3,8(BR/M)^{-0,38};$$

$$R_2/M = 0,0429/B \leq R/M \leq 0,512/B (\text{м/кг}),$$

$$\frac{t - t_2}{R_2} = \frac{(BR_2/M)^{0,3}}{1664} \left[ \left( \frac{R}{R_2} \right)^{1,3} - 1 \right], \quad \frac{t_2 - t_1}{R_1} = \frac{(BR_1/M)^{0,187}}{2232} \left[ \left( \frac{R_2}{R_1} \right)^{1,187} - 1 \right],$$

$$N = 1280(BR/M)^{-0,3}, \quad \Delta p = 1,78(BR/M)^{-0,6};$$

$$R_3/M = 0,512/B \leq R/M \leq 4,096/B (\text{м/кг}),$$

$$\frac{t - t_3}{R_3} = \frac{(BR_3/M)^{0,377}}{1694} \left[ \left( \frac{R}{R_3} \right)^{1,377} - 1 \right], \quad \frac{t_3 - t_2}{R_2} = \frac{BR_2/M^{0,3}}{1664} \left[ \left( \frac{R_3}{R_2} \right)^{1,3} - 1 \right],$$

$$N = 1230(BR/M)^{-0,377}, \quad \Delta p = 1,42(BR/M)^{-0,85}.$$

Здесь  $R_0$  — радиус заряда ВВ;  $B = 1,5 r^2$ ;  $R$ ,  $r$  в м;  $M$  в кг;  $\Delta p$  в МПа;  $t$  в с;  $N$  в км/с. В диапазоне  $0,512 \leq BR/M$ , где поршневое действие продуктов взрыва прекращается, давление на фронте УВ, определенное по приведенным формулам, согласуется с рассчитанным по формуле [1] (размерности величин те же)  $\Delta p = 7,87 \cdot 10^{-7} \varepsilon / R + 3,9 \cdot 10^{-4} \sqrt{\varepsilon / R}$  ( $\varepsilon = MQ/(2\pi r^2)$ ). Для тэна  $Q = 5,9 \cdot 10^6$  Дж/кг.

#### ЛИТЕРАТУРА

1. Родионов В. Н., Рябинин Ю. Н., Вахрамеев Ю. С. Затухание ударных волн в каналах постоянного сечения // Физика взрыва.— М.: Изд-во АН СССР, 1956.— № 5.
2. Христофоров Б. Д. Параметры фронта ударной волны в воздухе при взрыве зарядов из тэна и азида свинца разной плотности // ПМТФ.— 1961.— № 6.
3. Баум Ф. А., Орленко Л. П., Станюкович К. П. и др. Физика взрыва.— М.: Наука, 1975.
4. Кореньков В. В., Охитин В. Н. Численная оценка влияния плотности ВВ на параметры воздушных ударных волн // ПМТФ.— 1983.— № 3.

Поступила 16/III 1987 г.